

ногого горения к турбулентному описывается той же формулой

$$u_* \rho_1 = \frac{\delta_1 (T_r^*)^4}{c (T_1 - T_0^*) + L}. \quad (8)$$

Из (7) и (8) получим следующую связь:

$$u_1 = u_* \left(\frac{T_r}{T_r^*} \right)^4 \cdot \frac{c (T_1 - T_0^*) + L}{c (T_1 - T_0) + L}. \quad (9)$$

Разложив $(T_r/T_r^*)^4$ в ряд Тейлора в точке T_r^* и считая, что $dT_r/dT_0 = 1$, получим

$$u_1 \approx u_* \left(1 - 4 \frac{T_0 - T_0^*}{T_r} \right) \frac{c (T_1 - T_0^*) + L}{c (T_1 - T_0) + L}, \quad (10)$$

где u_* и T_r^* относятся к температуре (T_0^*) перехода от нормального горения к пульсирующему. Приняв $T_0^* = 90^\circ\text{C}$

Таблица 6

p , ат	u_1 , см/с	\bar{u} , см/с	u_3 , см/с
50	0,49	0,46	0,43
80	0,77	0,73	0,7
120	1,04	0,98	1,0
180	1,43	1,41	1,5

и u_* , равной скорости горения при такой температуре, рассчитаем по формуле (10) скорость выгорания вещества при $T_0 = 110^\circ\text{C}$. Расчитанные скорости выгорания (табл. 6) близки к измеренным (u_3).

При высоких температурах горение пульсирующее (см. рис. 6, в), что также находится в соответствии с предложенным механизмом.

Поступила в редакцию
10/X 1974

ЛИТЕРАТУРА

- К. К. Андреев. Термическое разложение и горение ВВ. М., «Наука», 1966.
- Б. Н. Кондриков, В. М. Райкова, Б. С. Самсонов. ФГВ, 1973, 9, 1.
- К. К. Андреев, Лю Бао-Фен. В сб. Теория взрывчатых веществ. М., Оборониздат, 1963, с. 349.
- Е. Ю. Орлова. Химия и технология бризантных взрывчатых веществ. Л., «Химия», 1973.
- А. А. Зенин. ПМТФ, 1963, 5.
- А. Д. Марголин, А. Е. Фогельзанг. ФГВ, 1966, 2, 2.
- К. К. Андреев, М. С. Плясунов. В сб. Теория взрывчатых веществ. М., «Высшая школа», 1967, с. 263.
- F. H. Rollard, R. M. H. Wyatt. Trans. Far. Soc., 1950, 46, 281.
- Б. С. Светлов, Б. А. Лурье, Г. Е. Корнилова. В сб. Горение и взрыв. М., «Наука», 1972, с. 780.

УДК 662.612.3.63

О РАСПРЕДЕЛЕНИИ ТЕМПЕРАТУРЫ ПРИ ГОРЕНИИ СЛОЯ ХВОИ

A. I. Сухинин
(Красноярск)

Горение хвои определяет процесс распространения низового и верхового пожара во многих типах леса. С целью изучения теплообмена и структуры фронта горения при его движении по слою опавшей сосновой

хвои проведены температурные измерения в газовой и конденсированной фазах. Термопары были натянуты в виде параллельных струн, их спаи находились на одной вертикали. Использовались хромель-алюмелевые термопары диаметром 50 мкм; их сигналы подавались на усилитель постоянного тока и регистрировались осциллографом Н-700.

Термопары, записывающие температуру газа, располагались на высоте 2 и 40 мм над хвоинкой, лежащей на поверхности слоя, и на глубине 2 мм под ней. Разогрев твердой фазы фиксировался термопарой, заделанной внутрь хвоинки. Место заделки представляло поперечное отверстие, не превышающее 100 мкм. После введения термопары оно слегка сжималось для обеспечения теплового контакта. Хвоинки-образцы отбирались одинакового эквивалентного диаметра (0,06 см), соответствующего модальному. Образцы высушивались или увлажнялись до требуемого влагосодержания.

Исследование горения слоев проводилось на стенде, имеющем асбестовую дорожку 25×70 см. С боков слои экранировались бортиками. Шарнирное устройство позволяло задавать угол наклона слоя к горизонту. На дорожку укладывалось определенное количество хвои так, чтобы слой представлял равномерно распределенную массу беспорядочно ориентированных хвоинок. Все опыты проводились в спокойной атмосфере.

Перед каждым опытом на поверхность слоя устанавливалось термопарное устройство с образцовыми хвоинками. Последние ориентировали вдоль направления распространения, фиксировали угол наклона слоя β , отсчитывая его от горизонтальной плоскости (знак минус соответствует распространению пламени снизу вверх), запас горючего на единицу площади M , толщину слоя для определения компактности K (доля объема горючего в объеме слоя), а также брали навеску для определения влагосодержания W . Зажигание производилось с помощью смоченного спиртом асбестового шнура, что давало прямолинейную ведущую кромку фронта горения. Во время опыта кроме термопарных измерений регистрировалась скорость продвижения пламени как по слою в целом, так и по нитям, образованным из связанных или состыкованных хвоинок и установленным на поверхность слоя вдоль направления распространения. Дополнительно измерялись высота пламени H и излучение зоны горения в непосредственной близости от пламени (измерения проведены Э. В. Коневым). Калориметр располагался на уровне поверхности слоя, момент начала конвективного нагрева характеризовался изломом на кривой разогрева калориметра.

В ряде экспериментов записывался разогрев частиц, лежащих внутри слоя на той же вертикали, что и поверхностная образцовая хвоинка. В другой серии опытов зондировался факел пламени по фронтальной и тыльной поверхности движущимися термопарами. В этом случае температурная запись синхронизировалась с киносъемкой, что упростило расшифровку осциллограмм.

Типичное температурное распределение показано на рис. 1, результаты измерений сведены в таблицу. Они представляют среднеарифметические значения при пяти повторениях опыта. Доверительный интервал при надежности 0,95 составлял в среднем 18% от указанных значений. В целом температурное поле можно разбить на следующие зоны (рис. 1):

0 — нагрев поверхностных частиц излучением и одновременное их охлаждение воздухом, втекающим во фронт горения. Здесь же происходит частичное подсушивание материала;

I — нагрев материала до температуры газификации $T_p \approx 300^\circ\text{C}$ излучением и конвекцией в слое газа, примыкающем к поверхности фронта пламени, $x=0$ — координата, разделяющая зоны 0 и I;

II — нагрев материала от T_p до максимальной температуры горения углеродистого остатка;

III — догорание материала.

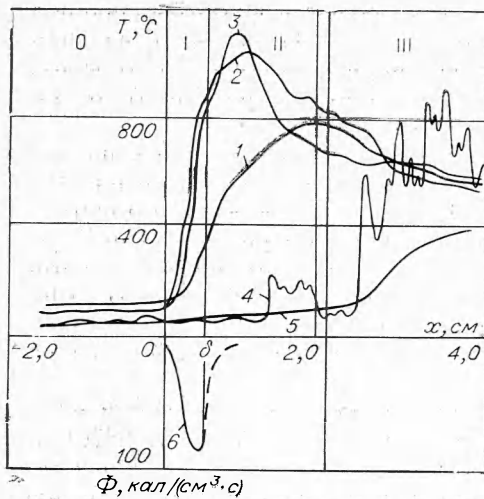


Рис. 1. Температурные профили для горящего слоя ($\beta=0$, $M=0,9$ кг/м², $K=0,046$, $W=1,5\%$).

1 — разогрев поверхности хвоинки; 2 — температура газовой фазы над хвоинкой, 2 мм от нее; 3 — температура газовой фазы под хвоинкой, 2 мм от нее; 4 — температура газовой фазы на высоте 40 мм от поверхности слоя; 5 — разогрев частицы внутри слоя на глубине 20 мм от поверхности; 6 — распределение скоростей объемного тепловыделения внутри поверхности хвоинки.

Кривая 1 описывает разогрев поверхности частицы, причем в зоне 0 градиент температуры хвои сохраняет практически постоянное значение ∇_1 . Далее температура частицы резко повышается ∇_2 до значения T_{f1} , а затем с меньшим наклоном ∇_3 достигает максимальной температуры горения углеродистого остатка T_{f2} и понижается до T_{f3} в зоне III.

Температура газовой фазы (T_g) вблизи той же частицы (кривые 2, 3) повышается также до подхода пламени, но в зоне 0 остается меньшей температуры конденсированной фазы. В зоне I температура газа резко возрастает вследствие теплопроводности от факела пламени от

Параметр	размерность	тепловые характеристики горящего слоя сосновой хвои									
		0	1	2	3	4	5	6	7	8	9
β	град	0	0	0	0	0	0	0	0	+21	-23
M	кг/м ²	0,3	0,9	1,5	0,6	0,6	0,3	0,3	0,3	0,3	0,3
$K \cdot 10^2$		4,6	4,6	4,6	2,2	7,8	4,6	4,6	4,6	4,6	4,6
W	%	1,1	1,5	1,5	1,5	1,5	6	8	11	5	5
u	мм/с	2,6	3,2	3,4	4,0	2,4	1,7	1,4	1,2	1,8	5,9
H	см	18	40	56	40	18	8	7	4	—	—
q	кал/(см ² · с)	0,7	0,8	0,9	0,8	0,6	0,6	0,5	0,5	0,7	—
∇_1	°С/см	12	10	11	9	15	18	19	18	17	9
T_{f0}	°С	85	110	130	127	90	80	83	75	90	110
∇_2	°С/см	1300	1030	1100	1010	1120	1930	2140	1940	2010	120
$u \cdot \nabla_2$	°С/с	340	330	370	400	270	330	3000	230	360	70
T_{f1}	°С	500	490	490	470	410	550	510	500	480	—
∇_3	°С/см	500	440	310	260	560	740	770	850	780	—
T_{f2}	°С	790	800	780	900	660	880	810	780	880	660
T_{f3}	°С	600	500	5700	500	510	510	590	730	610	470
T_{g0}	°С	80	85	108	90	60	80	80	73	70	105
∇_g	°С/см	2190	1980	2020	2350	1730	3000	2900	3300	2800	—
T_{g1}	°С	970	1050	1060	1030	780	1040	1020	1010	1020	940
T_{g3}	°С	525	580	590	510	610	530	540	560	610	640
δ	мм	2,6	3,8	3,1	3,6	3,1	1,7	1,7	1,7	1,6	26,5
$\int_0 \Phi(x) dx$	кал/(см ² · с)	12,6	13,6	12,9	15,3	11,2	8,0	6,4	5,6	8,2	—
δ											
$\int_{-\infty}^{\infty} \Phi(x) dx$	кал/(см ² · с)	16,4	20,0	21,3	25,1	15,0	10,2	8,3	7,1	10,9	—
$\alpha \cdot 10^3$	кал/(см ² · с · град)	2,3	1,6	2,1	2,2	1,8	3,5	3,4	3,2	2,5	—
$\alpha_0 \cdot 10^3$	кал/(см ² · с · град)	2,8	2,2	2,1	1,9	2,1	2,5	2,1	2,4	2,6	—
k_1	%	23	32	30	27	25	14	13	13	19	—
k_0	%	34	50	50	56	46	29	29	25	33	—

T_{g0} до T_{g1} , наклон кривых описывается градиентом ∇_g . В зоне II обе кривые имеют четко выраженный пик температуры, по ширине соответствующий основанию фронтальной поверхности факела. В зоне догорания T_g уменьшается до T_{g3} , сопровождаясь слабыми колебаниями. На высоте 4 см от поверхности слоя появляются пульсации температуры (см. рис. 1, 4), амплитуда которых достигает 600° , причем на низкочастотные колебания ($\sim 0,5$ Гц) накладываются высокочастотные (~ 20 Гц). Следовательно, уже на этой высоте развивается турбулентное горение.

При распространении пламени сверху вниз по наклонному слою температурное поле сохраняет описанный выше характер, лишь кривая 4 сдвигается правее из-за большего отклонения пламени назад. В случае горения снизу вверх перед фронтом пламени появляются пульсации температуры в газовой фазе уже на уровне поверхности слоя. Киносъемка показала, что они вызваны завихрениями пламени на передней кромке и его случайными контактами с горючим материалом. Указанное обстоятельство явилось причиной замедленного темпа разогрева материала $u\nabla_2$ по сравнению с другими условиями горения, т. е. нарушения пропорциональности между шириной зоны I и скоростью распространения пламени. Аналогичный эффект должен иметь место при воздействии попутного ветра, становясь в некоторых условиях определяющим способом теплопередачи.

Зондирование пламени показало, что средняя температура его фронтальной поверхности при движении термопар вверх начинает убывать примерно с $0,5$ Н. Максимальная температура верхних языков пламени составляла $\sim 700^\circ\text{C}$. За границей светящейся области температура газа $\sim 300^\circ\text{C}$. Охлаждение связано с интенсивным перемешиванием продуктов сгорания с окружающим воздухом, кроме того, в верхнюю область факела попадают продукты пиролиза с меньшим тепловым эффектом [1]. Следовательно, с учетом граничной температуры воспламенения растительных материалов 500°C [2] воспламенение хвои пламенем низового пожара может произойти лишь в светящейся области факела. Поэтому положение верхних языков пламени, т. е. его высота, будет определять, как это и наблюдалось на естественных пожарах, переход огня в кроны деревьев.

Путем обработки осциллограмм и фотографий установлено, что под действием втекающего воздушного потока фронт пламени отклоняется назад от вертикали на 30 — 45° . Это позволяет оценить скорость подтока вблизи поверхности слоя. Она составляет $\sim 0,4$ м/с при скорости газовых потоков в факеле $\sim 1,1$ м/с.

Запись разогрева хвоинок, расположенных внутри слоя, дала возможность оценить наклон поверхности, разделяющей свежее горючее от сгоревшего. Установлено, что с увеличением компактности от 0,022 до 0,078 угол отклонения от вертикали увеличивается от 34 до 76° , что указывает на возрастание теплоотвода из зоны горения поверхностных хвоинок внутрь слоя. Теплоотвод обусловлен затрудненной подачей кислорода, приводящей к уменьшению температуры горения T_{g1} до 900°C и T_{f2} до 440°C в центре слоя. Имеет место также теплоотдача в инертную подложку: на расстоянии ~ 2 мм от нее T_{g1} понизилась до 780°C , даже при горении рыхлого слоя.

Анализ температурных профилей и фотографий позволяет представить схематически структуру фронта горения горизонтального слоя (рис. 2). Свежий материал 1 отделен от разложившегося поверхностью 2, отклоненной в сторону зоны горения на угол φ_1 . Над слоем около его поверхности имеется узкое (~ 1 см) ламинарное пламя 3, также отклоненное внутрь зоны горения. С высотой оно переходит в широкий турбулентный факел 4, к которому с тыльной стороны примыкает область продуктов разложения хвои 5. Далее следует область продуктов сгорания углеродистого остатка 6, выгорающего с поверхности слоя 7.

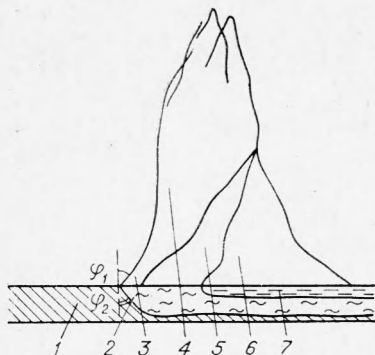


Рис. 2. Структура слоя, горящего в спокойной атмосфере.

сированных фазах формируются в результате совместного действия этих условий и дают возможность измерить результирующие тепловые потоки, идущие на нагрев хвои.

Полагая, что влияние лучистого и конвективного потоков, поступающих через боковую поверхность, эквивалентно объемному тепловыделению внутри хвоинки и произведя графическое дифференцирование кривой 1, получим пространственное распределение скоростей объемного тепловыделения в частице $\Phi(x)$ (см. рис. 1, 6). Максимум тепловыделения расположен на передней кромке фронта горения. Здесь идут процессы теплообмена, определяющие скорость распространения пламени, а также создаются наиболее благоприятные условия для протекания реакций горения, обусловившие максимум температуры (см. рис. 1, 2, 3) и узкое светящееся пламя у поверхности слоя.

Тепло, поступившее извне через боковую поверхность хвоинки в зоне I, полностью расходуется на испарение влаги и нагрев материала от T_{f0} до T_f , что выражается соотношением:

$$\frac{4\delta}{d} [a_c \alpha (\bar{T}_g - \bar{T}_f) + a_r \varepsilon q] = \rho u L \frac{w}{1+w} + \int_0^\delta \Phi(x) dx, \quad (1)$$

где δ — ширина зоны I; $d=0,06$ см — эквивалентный диаметр хвоинки; $a_c \approx 1$, $a_r \approx 0,3$ — доля поверхности, участвующая в теплообмене; α — коэффициент конвективного нагрева; $\bar{T}_g = \frac{1}{\delta} \int_0^\delta T_g(x) dx$; $\bar{T}_f = \frac{1}{\delta} \int_0^\delta T_f(x) dx$; $\varepsilon = 0,8$ — коэффициент поглощения излучения материалом; q — лучистый поток, измеренный вблизи пламени; $\rho = 0,66$ г/см³ — плотность хвои; $L = 710$ кал/г — суммарная теплота десорбции и испарения влаги; u — скорость распространения пламени.

Соотношение (1) позволяет вычислить коэффициент α для исследованных условий горения, если воспользоваться измеренными значениями u , q , данными температурных распределений и оценками, приведенными выше. Как следует из таблицы, он слабо возрастает с увеличением влагосодержания и по величине близок к значению α для одиночной хвоинки, горящей вне слоя ($2,5 \cdot 10^{-3}$ кал/(см²·с·град)).

В таблице приведены также значения коэффициента конвективного охлаждения горючего в зоне 0 (α_0), рассчитанные из условия теплового равновесия:

$$a_r \varepsilon q = \alpha_0 (T_{f0} - T_g).$$

Видно, что $\alpha \approx \alpha_0$, т. е. смена охлаждения нагревом не приводит к существенному изменению коэффициента теплообмена.

Результаты температурных и калориметрических измерений дают возможность оценить долю излучения в тепловом балансе при распространении пламени как в зоне конвективного нагрева I (k_1), так и в области $-\infty \div 0$ (k_0). Доля излучения возрастает при увеличении запаса горючего, рыхлости слоя и уменьшении влагосодержания. Для исследованных условий она варьирует от 13 до 32% в зоне I и от 25 до 57% в зонах 0—I, т. е. теплообмен излучением не определяет процесс распространения пламени. Хвоя перед фронтом нагревается лучистым потоком до температуры, не превышающей 130°C даже в случае высоких пламен, что связано с теплоотдачей в воздух, подтекающий в зону горения. Влияние излучения в проведенных опытах сводится к повышению начальной температуры и частичному подсушиванию материала.

Поступила в редакцию
17/X 1974

ЛИТЕРАТУРА

1. П. Г. Демидов. Горение и свойства горючих материалов. М., изд-е МКХ РСФСР, 1962.
2. D. L. Simm. Combustion and flame, 1963, 7, 3, 253.
3. А. И. Сухинин, Э. В. Конев. В сб. Вопросы лесной пирологии. Красноярск, изд-е Ин-та леса и древесины СО АН СССР, 1972, с. 7.

УДК 662.612.63

НЕКОТОРЫЕ ЗАКОНОМЕРНОСТИ ИЗЛУЧЕНИЯ ФРОНТА ГОРЕНИЯ ЛЕСНЫХ ГОРЮЧИХ МАТЕРИАЛОВ

Э. В. Конев
(Красноярск)

Многие аспекты вопроса о роли излучения при горении лесных горючих материалов остаются не изученными [1—6]. Не исследована зависимость излучения фронта горения от условий (т. е. от влагосодержания, запаса горючего материала, угла наклона слоя к горизонту, вида горючего материала и т. д.), не изучено экспериментальное распределение лучистого потока на поверхности горючего материала перед фронтом пламени, отсутствуют данные о коэффициенте поглощения радиации пламени лесными горючими материалами.

В данной работе приведены результаты измерений, полученные на слоях и на отдельных характерных частицах. Лучистый поток определялся по темпу нагрева медного цилиндра (калориметра) диаметром 7 и высотой 3 мм. Торцевая поверхность его была покрыта ламповой сажей, а боковая поверхность защищена от излучения. Нагрев калориметра регистрировался на потенциометре ЭПП-09 со шкалой 2 мВ.

В большей части опытов фиксировалось излучение на поверхности фронта горения и распределение лучистого потока перед ним. С этой целью калориметр устанавливался неподвижно между элементами лесного горючего материала, лежащими на поверхности слоя, торцовой поверхностью в сторону приближающегося фронта горения. Поверхность пламени отождествлялась с точкой резкого подъема температуры калориметра. Расстояние между фронтом пламени и калориметром рассчитывалось по скорости распространения пламени.